

# 苏州科技学院

SuZhou University of Science and Technology



## 学士学位论文

题目：\_\_\_\_\_ 蚁群算法的参数优化问题 \_\_\_\_\_

——基于遗传算法的计算与分析——

学院：\_\_\_\_\_ 数 理 学 院 \_\_\_\_\_

专业：\_\_\_\_\_ 信 息 与 计 算 科 学 \_\_\_\_\_

班级：\_\_\_\_\_ 1 1 1 2 班 \_\_\_\_\_

学号：\_\_\_\_\_ 1120210226 \_\_\_\_\_

姓名：\_\_\_\_\_ 邓 屿 松 \_\_\_\_\_

指导教师：\_\_\_\_\_ 杜 大 刚 \_\_\_\_\_

2015 年 05 月 29 日

## 摘 要

蚁群算法(Ant Colony Optimization, ACO),是一种模拟蚂蚁觅食过程中利用信息素的释放相互合作、选择路径的行为的仿生优化算法。最常见的应用场景是求解 TSP 问题。

在基本蚁群算法中,针对给定的 TSP 问题,需要对蚁群设置众多的参数,而参数的选取与算法的全局收敛性和收敛速度有着密切的关联。但由于蚁群算法参数空间的庞大性和各参数之间的关联性,如何确定最优组合参数使蚁群算法求解性能最佳一直是一个极其复杂的优化问题,目前上没有完善的理论依据,大多情况下都是根据经验而定。

遗传算法(Genetic Algorithm, GA)是一种被广泛应用于多目标参数优化、机器学习等领域之中的算法。本文的工作是基于遗传算法,对基本蚁群算法的参数最优组合进行估算。在此过程中,合理的分析并做出了蚁群的适应度函数、蚁群基因的二进制编码解码方式等方面的讨论。最终给出了针对 EIL51-TSP 问题较优的蚁群算法参数组合。

关键字: TSP 问题、蚁群算法、遗传算法、多目标组合优化、参数估计

## Abstract

Ant Colony Optimization is a bionic optimization algorithm. It can simulate ants cooperating mutually by releasing pheromone and the behavior of choosing path in the process of foraging. It applies to solve the TSP problem mostly.

In the basic ant colony algorithm, according to the given TSP problem, we need to set many parameters for ant colony. And the selection of parameters and global convergence and convergence speed of the algorithm is closely associated. But due to the hugeness of ant colony algorithm parameter space and the relevance between the parameters, it has always been a very complicated optimization problem about how to determine the optimal combination parameter of ant colony algorithm to solve the best performance. By now, there is no perfect theoretical basis and in most cases, it depends on experience.

Genetic algorithm is a algorithm, which is widely applies to multi-objective parameter optimization, machine learning and so on. The job of this paper is to estimate the best combination of basic ant colony algorithm parameters, based on the genetic algorithm. In the process, reasonable analysis and discussions of the fitness function of the ant colony, ant colony genetic way of binary code decoding and so on will be made. Finally, one preferable ant colony algorithm parameter combination for EIL51 - TSP problem will be given.

**Key word:** Travelling Salesman Problem, Ant Colony Optimization,  
Genetic Algorithm, Multi-objective combinational optimization,  
parameter estimation

## 目 录

摘 要 .....	I
Abstract .....	II
目 录 .....	III
1 绪论 .....	1
2 蚁群算法的基本原理与编程实现 .....	2
2.1 蚁群算法的基本原理 .....	2
2.1.1 TSP 问题概述 .....	2
2.1.2 蚁群算法简介 .....	2
2.1.3 蚁群算法的数学模型 .....	3
2.2 蚁群算法的编程实现 .....	4
3 遗传算法的基本原理与编程实现 .....	5
3.1 遗传算法的基本原理 .....	5
3.1.1 遗传算法简介 .....	5
3.1.2 遗传算法的数学模型 .....	5
3.2 遗传算法的编程实现 .....	7
4 基于遗传算法对蚁群算法进行参数优化 .....	9
4.1 蚁群算法存在的缺陷 .....	9
4.2 蚁群的适应度函数 .....	9
4.2.1 蚁群算法的性能评价指标 .....	9
4.2.2 蚁群算法的适应度函数 .....	10
4.2.3 适应度的尺度变换 .....	10
4.3 蚁群基因的二进制编码与解码 .....	11
4.3.1 格雷编码的引入 .....	11
4.3.2 编码与解码 .....	11
4.4 基于遗传算法的蚁群算法参数优化 .....	12
4.4.1 初始数据的选取 .....	12
4.4.2 遗传算法的计算结果 .....	14
5 参数优化的初步结论 .....	15
6 存在的不足 .....	18
7 致谢 .....	19
8 参考文献 .....	19
附录 A 部分核心代码 .....	20
1 蚁群算法核心代码 .....	20
2 遗传算法核心代码 .....	23
附录 B 外文参考文献 .....	27
1 部分译文 .....	27
2 部分原文 .....	30

## 1 绪论

旅行商问题(Travelling Salesman Problem, TSP)是数学领域中著名问题之一。问题的描述为：在一个  $n$  阶带权完全图中，求一条哈密顿(Hamiltonian)回路，使的该回路经过的所有边权和最小。

TSP 问题在通讯、交通、军事等诸多领域均有着广泛的应用价值，然而它却是一个 NP 完全问题，人们无法给出一个有效的算法以在多项式时间内对其求解。在规模稍大的 TSP 模型下，获取最优解几乎是不可能做到的。因此，寻找一种能快速获取较优解的算法具有重要的科研意义。

蚁群算法(Ant Colony Optimization, ACO),是由 Marco Dorigo 于 1991 年在他的博士论文<sup>[1]</sup>中提出的一种仿生算法。该算法通过模拟蚂蚁觅食过程中利用信息素的释放相互合作，选择路径的行为，在求解 TSP 问题中取得了十分卓越的成果。

在基本蚁群算法中，针对给定的 TSP 问题，需要对蚁群设置包括：信息素强度  $Q$ 、信息素挥发系数  $\rho$ 、信息启发式因子  $\alpha$ 、期望启发式因子  $\beta$ 、蚁群规模  $m$  等参数。这些参数的选取与算法的全局收敛性和收敛速度有着密切的关联。但由于蚁群算法参数空间的庞大性和各参数之间的关联性，如何确定最优组合参数使蚁群算法求解性能最佳一直是一个极其复杂的优化问题，目前上没有完善的理论依据，大多情况下都是根据经验而定<sup>[2]</sup>。

蚁群算法参数的选取，可以看成是一个多目标组合优化问题。对于这类优化问题，遗传算法(Genetic Algorithm, GA)是一种便于实现并且效果显著的算法。遗传算法模拟自然界中生物进化的过程，以生物个体的适应度作为标准，对生物群体作用于选择算子（优胜劣汰），然后再分别作用于交叉、变异算子，得到下一代种群。随着遗传代数的增加，适应度高的个体所含有的基因在种群基因库中的权重将逐渐增高，群体中的个体逐渐接近最优解。

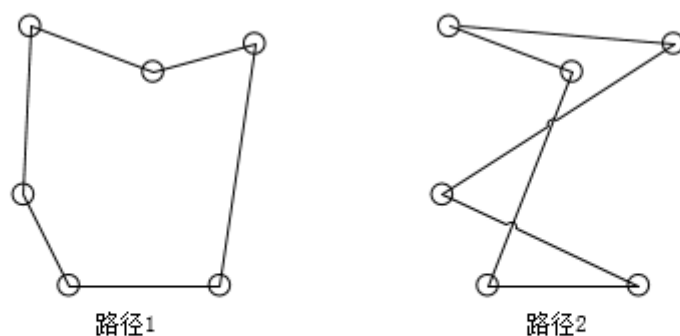
本文将基于遗传算法对基本蚁群算法的参数进行合理的优化，尝试给出一个合理的、普适的蚁群算法参数选取的方法。

## 2 蚁群算法的基本原理与编程实现

### 2.1 蚁群算法的基本原理

#### 2.1.1 TSP 问题概述

TSP 问题 (Traveling Salesman Problem, 又称旅行商问题、货郎担问题), 是数学领域中的一个著名问题。该问题的描述为: 一个旅行商欲不重复无遗漏的路过  $n$  个城市并最终回到起点, 怎样设计路线使得其行程达到最短。其数学语言描述即: 在一个节点数为  $n$  的带权无向完全图中, 如何构造一条哈密顿回路, 使其经过路径的权重和最小。



如何构造路程最短的哈密顿回路?

图 2-1 TSP 问题示意图

对于  $n$  个节点的 TSP 问题, 由于无向完全图中具有  $\frac{(n-1)!}{2}$  条哈密顿回路。当  $n$  较大时, 这将是一个天文数字, 几乎无法对所有可能的路径进行穷举计算。TSP 问题已被证明是一个 NP 问题, 也即是说无法找到一个有效的算法, 能够在多项式的时间复杂度以内找到问题的精确解。因此, 对于大规模的 TSP 问题, 人们往往采用近似算法以得到问题的较优解。

#### 2.1.2 蚁群算法简介

蚁群算法(Ant Colony Optimization, ACO)是一种模拟进化算法, 由 Marco Dorigo 于 1992 年在他的博士论文中提出。该算法模拟自然界中蚂蚁觅食寻找路

线时表现出的协作行为，广泛应用于各类优化问题的求解。而该算法最常见的应用场景便是对 TSP 问题进行求解，本文对蚁群算法的若干讨论也将基于 TSP 问题的求解之上。

### 2.1.3 蚁群算法的数学模型

蚂蚁通过信息素的释放，与其他的个体之间产生协作。由于信息素的挥发作用，距离食物较近的路线将逐渐积累较高浓度的信息素，而信息素浓度越高的路线又具有较大的概率被其它蚂蚁所选择。在这样一种正反馈机制的作用下，蚁群将逐渐聚集到最优的路径上。这就是蚁群算法的基本思想。

根据信息素更新策略的不同，Marco Dorigo 提出了三种蚁群算法模型，分别为 Ant-Cycle 模型、Ant-Quantity 模型以及 Ant-Density 模型。这三个模型之间的主要差别在于信息素挥发时机的不同。在处理 TSP 问题时，通常情况下 Ant-Cycle 模型具有较好的求解性能与收敛速度，因此在本文中关于蚁群算法的讨论将基于 Ant-Cycle 基本蚁群算法模型。

下面给出基本蚁群算法的 Ant-Cycle 数学模型：

设  $n$  为 TSP 问题中的城市数量， $m$  为蚁群中的蚂蚁数量， $\tau_{ij}(t)$  为  $t$  时刻路径  $(i, j)$  上的信息素含量， $d_{ij}$  为路径  $(i, j)$  的长度， $C$  为所有节点的集合， $tabu_k$  为第  $k$  只蚂蚁已经经过的节点集合， $p_{ij}^k(t)$  为第  $k$  只蚂蚁在  $t$  时刻从节点  $i$  转移到节点  $j$  的概率，令

$$p_{ij}^k(t) = \begin{cases} \frac{[\tau_{ij}(t)]^\alpha / d_{ij}^\beta}{\sum_{s \in C - tabu_k} [\tau_{is}(t)]^\alpha / d_{is}^\beta} & j \in C - tabu_k \\ 0 & j \in tabu_k \end{cases} \quad (2-1)$$

公式 2-1 中， $\alpha$  为信息启发因子，表示在蚂蚁选择路径时，信息素的重要性，该值越大，表明蚂蚁越重视其它蚂蚁释放的信息素提供的信息。 $\beta$  为期望启发因子，表示在蚂蚁选择路径时，能见度（即路程长短）的重要性，该值越大，蚂蚁将趋于选择较短路径前进，也即整个蚁群系统更倾向于贪心算法求解问题。

在 Ant-Cycle 模型中，蚂蚁将在遍历所有城市一遍之后更新信息素，记  $\Delta\tau_{ij}^k$  为第  $k$  只蚂蚁遍历所有城市后，在路径  $(i, j)$  上所释放的信息素量

$$\Delta\tau_{ij}^k = \begin{cases} Q / L_k & \text{若蚂蚁经过路径}(i, j) \\ 0 & \text{否则} \end{cases} \quad (2-2)$$

则在所有蚂蚁遍历完城市一遍后，所有路径上的信息素总量将更新为

$$\tau_{ij}(t+n) = (1-\rho)\tau_{ij}(t) + \sum_{k=1}^m \Delta\tau_{ij}^k \quad (2-3)$$

公式 2-3 中， $\rho$  为信息素挥发系数，其值越小，信息素的积累效果将越显著。以上为蚁群算法对 TSP 问题的一次搜索过程。通过多次迭代该搜索过程，由于信息素逐渐积累，蚁群将逐渐收敛至该 TSP 问题的某个局部最优解上。该解即为蚁群算法得出的 TSP 问题的较优解。

## 2.2 蚁群算法的编程实现

这里给出 Ant-Cycle 蚁群算法的实现步骤流程图（以求解 TSP 问题为例）：

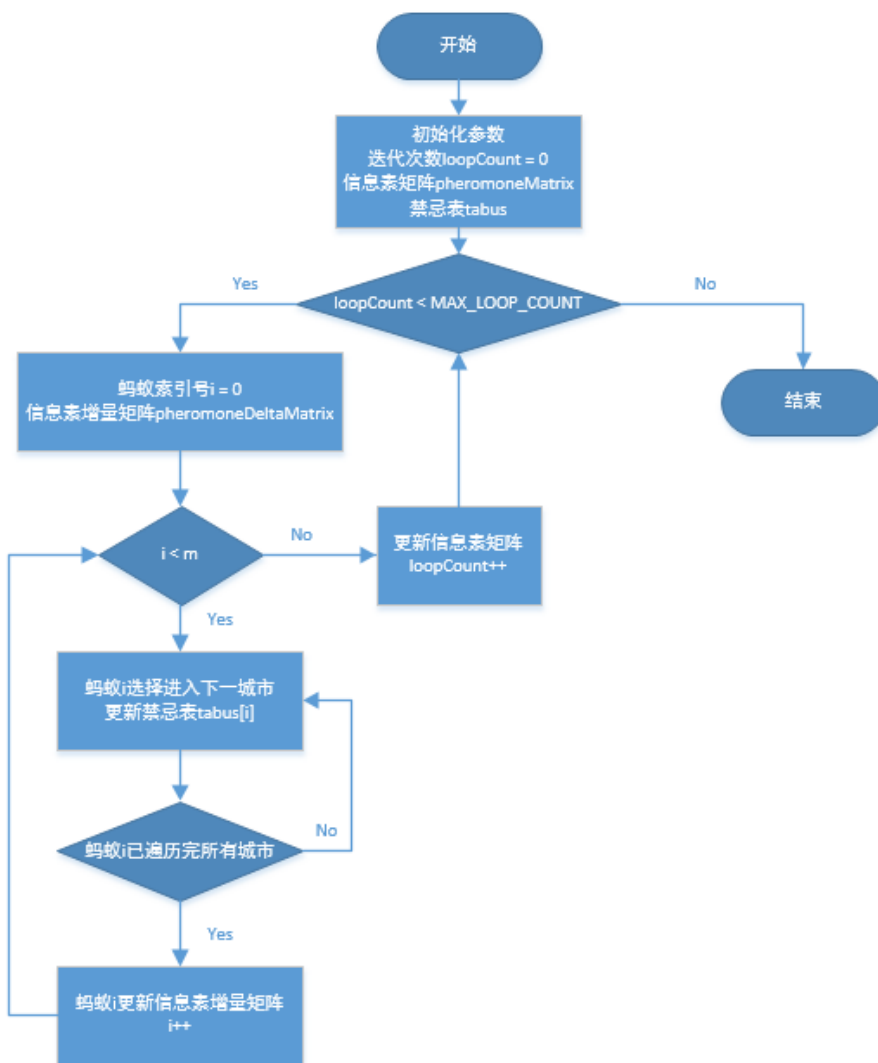


图 2-2 蚁群算法流程图



图 2-2 所示算法步骤的文字描述如下：

- ① 初始化参数，令迭代次数  $\text{loopCount} = 0$ , 设置最大迭代次数  $\text{MAX\_LOOP\_COUNT}$ ，初始化信息素矩阵  $\text{pheromoneMatrix}$ , 其中  $\text{pheromoneMatrix}[i][j] = \text{const}$ ， $\text{const}$  为常量，初始化禁忌表  $\text{tabus}$ ， $\text{tabus}[i][j]$  记录第  $i$  只蚂蚁是否经过节点  $j$  的信息，进入步骤②。
- ② 若  $\text{loopCount} > \text{MAX\_LOOP\_COUNT}$ , 算法结束，否则，令蚂蚁索引号为  $i = 0$ ，初始化信息素增量矩阵  $\text{pheromoneDeltaMatrix}$ （初始为零矩阵），进入步骤③。
- ③ 蚂蚁按照公式 2-1 选择移动到下一个城市，更新禁忌表  $\text{tabus}[i]$ ，若尚有城市未被遍历，重复本步骤，否则进入步骤④。
- ④ 蚂蚁按照公式 2-2 释放信息素，更新信息素增量矩阵。蚂蚁索引号  $i = i + 1$ , 若  $i < m$ ，进入步骤③，否则进入步骤⑥。
- ⑤ 按照公式 2-3 更新所有路径上的信息素，进入步骤⑥。
- ⑥ 循环次数  $\text{loopCount} = \text{loopCount} + 1$ ，进入步骤②。

### 3 遗传算法的基本原理与编程实现

#### 3.1 遗传算法的基本原理

##### 3.1.1 遗传算法简介

遗传算法是一种模拟自然界中种群生物进化的优化算法，常被应用于多目标参数优化问题。

遗传算法的主要思想为：在问题的潜在解集中选取部分个体并视作一个种群(Population)，将个体的差异性特征（即问题的参数）进行适当的编码作为基因(Gene)，通过定义合适的适应度函数，对种群中的个体进行自然选择。然后对于选择算子作用后的种群进行个体的交叉与变异，最终得到下一代种群。经过一定代数的进化，种群中的个体的平均适应度将明显优于初代种群。

##### 3.1.2 遗传算法的数学模型

由编码方式的不同，遗传算法通常被分为二进制编码遗传算法与浮点数编码遗传算法。在本文中，将采用二进制编码的遗传算法进行相关讨论。

遗传算法的一代进化过程可以抽象为三个作用于种群的算子：

### 1. 选择算子：

选择运算是遗传算法中最为关键的一个步骤，其中，适应度函数的定义是否合理，将直接影响到算法的全局收敛性与收敛速度。适应度函数是一个种群间个体到非负实数之间的映射函数，体现了个体对于环境的适应程度，适应度越高的个体被选择到下一代的概率也就越大（通常采用轮盘赌方式进行个体选择）。

### 2. 交叉算子：

对于被选择出的个体，进行两两随机配对。将配对后的个体之间进行基因交叉互换，用交叉后的基因构造新的个体，将得到的新个体取代旧个体，这个过程称为交叉运算。

### 3. 变异算子：

为了防止算法陷于局部最优解中，经过交叉算子作用后的种群中每个个体将以一定的概率产生基因突变，突变后得到的个体构成的种群将作为新一代的种群。

迭代上述进化过程，适应度高的个体所携带的优良基因将具有较大的概率遗传到下一代保留，适应度低的个体所携带的基因将被逐渐淘汰，种群的基因将逐渐趋于最优。

下面给出二进制编码遗传算法的数学模型：

设所求问题为求解能使非负多元函数  $f(X)$  在可行域上  $U$  的达到最大值的  $X$ ，其中  $X = (x_1, x_2, \dots, x_n)$  为所求的参数向量。

在可行域  $U$  中选取  $m$  个适当的可行解作为遗传算法的初始种群，设他们的决策变量（基因）集合为  $P(t) = (X_1, X_2, \dots, X_m)$ 。

将决策变量  $X_i$  编码为长度为  $k$  的二进制数  $X_i = b_{i1}b_{i2} \dots b_{ik}$ 。对种群  $P(t)$  分别作用以 *selection* 选择算子，*crossover* 交叉算子，*mutation* 变异算子，得到下一代种群  $P(t+1)$ 。

$$P(t+1) = mutation(crossover(selection(P(t)))) \quad (3-1)$$

公式 3-1 中，各算子定义如下：

*selection* 选择算子：

根据种群  $P(t)$  中个体的适应度，对种群进行  $m$  次选择，每次各个体被选择到下一代的概率为  $P_i$ ，令

$$P_i = \frac{f(X_i)}{\sum_{i=0}^m f(X_m)} \quad (3-2)$$

即以个体的适应度函数的函数值作为权重，进行轮盘赌选择。

经过上述选择过程后，得到  $selection(P(t))$ 。

*crossover* 交叉算子：

在种群  $selection(P(t))$  中进行随机两两配对，对每对个体  $(X_i, X_j)$  进行基因重组，即

$$\begin{cases} X_i = b_{i1}b_{i2} \cdots b_{it}b_{j(t+1)} \cdots b_{jk} \\ X_j = b_{j1}b_{j2} \cdots b_{jt}b_{i(t+1)} \cdots b_{ik} \end{cases} \quad (3-3)$$

其中，交叉位置  $t$  随机选取。

将经过上述交叉过程后，得到  $crossover(selection(P(t)))$

*mutation* 变异算子：

对交叉算子作用后的  $crossover(selection(P(t)))$ ，其中各个体  $X_i = b_{i1}b_{i2} \cdots b_{ik}$  以一定概率按位产生突变。一次生成随机数得到  $P(t+1)$ 。

### 3.2 遗传算法的编程实现

这里给出基本遗传算法的实现步骤流程图：

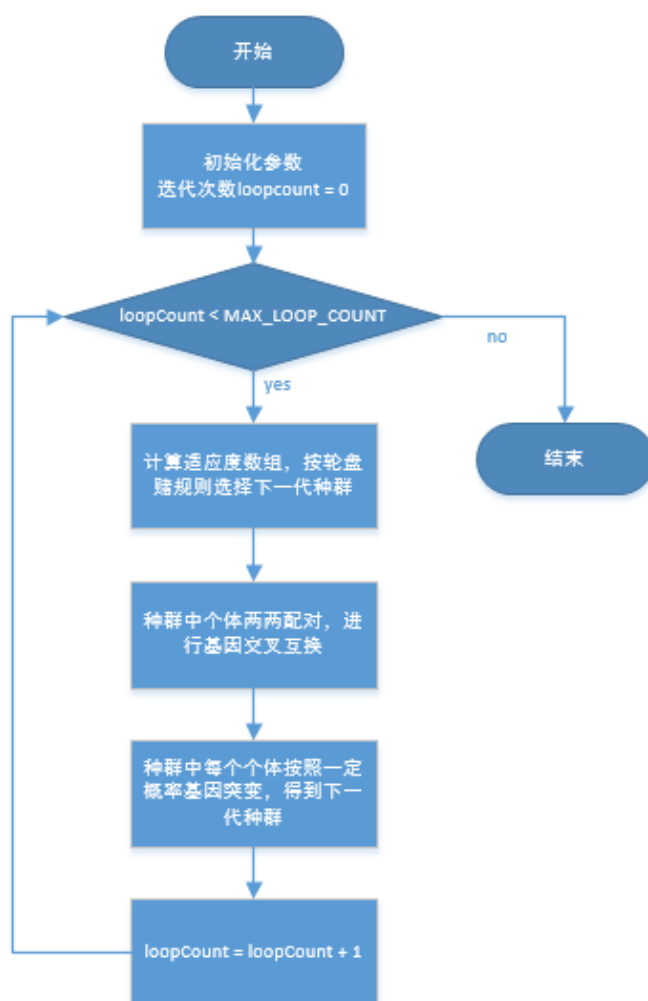


图 3-1 遗传算法流程图

图 3-1 所示算法步骤的文字描述如下：

- ① 初始化参数，令迭代次数  $\text{loopCount} = 0$ , 设置最大迭代次数  $\text{MAX\_LOOP\_COUNT}$ 。选择  $m$  个合适的可行解作为初代群体。进入步骤②。
- ② 计算种群中所有个体的适应度，得到种群适应度数组  $\text{fitnessArray}$ 。进入步骤③。
- ③ 按照轮盘赌规则，以适应度数组为权重，进行  $m$  次选择，得到被选择算子作用后的种群。进入步骤④。
- ④ 将种群中的个体随机两两配对。每对个体之间进行基因交叉互换。得到被交叉算子作用后的种群。进入步骤⑤。

⑤ 对种群中所有的个体进行基因突变，得到被变异算子作用后的种群。迭代次数  $\text{loopCount} = \text{loopCount} + 1$ 。进入步骤⑥。

⑥ 若  $\text{loopCount} < \text{MAX\_LOOP\_COUNT}$ ，跳转至第②步，否则算法结束。

## 4 基于遗传算法对蚁群算法进行参数优化

### 4.1 蚁群算法存在的缺陷

在蚁群算法中，需要包括蚂蚁数量  $m$ 、信息素强度  $Q$ 、信息素挥发系数  $\rho$ 、信息启发因子  $\alpha$ 、期望启发因子  $\beta$  等众多初始参数。这些参数的选取对于蚁群算法的全局收敛性和求解效率都有着显著的影响。如何确定这些参数的最佳组合是一个极其复杂的优化问题。通常而言，蚁群算法的参数选取往往凭借经验以及反复试凑得到。这显然是蚁群算法的一个重要的缺陷。

本文基于遗传算法，对蚁群算法的参数进行优化。尝试为蚁群算法的参数提供一个普适的、科学的选取方法。

### 4.2 蚁群的适应度函数

#### 4.2.1 蚁群算法的性能评价指标

要采用遗传算法对蚁群算法进行参数优化，合理定义蚁群的适应度函数是整个算法的核心。

评价一个蚁群求解 TSP 问题性能的好坏，我们给出以下三个指标：

##### 1. 最佳性能指标

定义基本蚁群算法的相对误差作为最佳性能指标  $E_o$

$$E_o = \frac{c_b - c^*}{c^*} \times 100\% \quad (4-1)$$

其中  $c_b$  为蚁群多次运算后得到的最优解， $c^*$  表示所求 TSP 问题的理论最优解（若理论最优解未知，可用当前已知最优解替代）。该指标代表了蚁群算法对问题的优化性能，其值越小，表明该蚁群的优化性能越好。

##### 2. 时间性能指标

定义基本蚁群算法的时间性能指标  $E_T$  如下：

$$E_T = \frac{I_a T_0}{I_{\max}} \times 100\% \quad (4-2)$$

其中,  $I_a$  为本次计算首次搜索到最优解时的迭代次数,  $I_{\max}$  为给定的最大迭代次数,  $T_0$  为迭代一次所需的平均时间。时间性能指标用来衡量蚁群算法的收敛速度, 其值越小, 表明算法的收敛速度越快。

### 3. 鲁棒性能指标

定义基本蚁群算法的鲁棒性能指标  $E_R$  如下:

$$E_R = \frac{c_a - c^*}{c^*} \times 100\% \quad (4-3)$$

其中  $c_a$  为蚁群多次运算后得到的解的平均值,  $c^*$  表示所求 TSP 问题的理论最优解 (若理论最优解未知, 可用当前已知最优解替代)。该指标代表了蚁群算法对算法随机性的依赖程度。

综上所述, 我们可以定义蚁群算法的综合性能指标  $E$  如下:

$$E = \alpha_O E_O + \alpha_T E_T + \alpha_R E_R \quad (4-4)$$

其中  $\alpha_O$ 、 $\alpha_T$  和  $\alpha_R$  分别为最佳性能指标、时间性能指标和鲁棒性能指标的权重, 满足  $\alpha_O + \alpha_T + \alpha_R = 1$ 。综合性能指标  $E$  值越小, 表明蚁群算法的性能越好。

## 4.2.2 蚁群算法的适应度函数

定义蚁群的适应度函数

$$f(C) = \frac{1}{E} = \frac{1}{\alpha_O \frac{c_b - c^*}{c^*} + \alpha_T \frac{I_a T_0}{I_{\max}} + \alpha_R \frac{c_a - c^*}{c^*}} \quad (4-5)$$

其中, 令算法平均一次迭代时间  $T_0 = \frac{m}{n}$  (蚁群规模与城市数量之比)。

## 4.2.3 适应度的尺度变换

遗传算法中, 个体被选择到下一代的概率是由个体的适应度所决定的。然而应用实践表明, 单纯使用公式 4-5 计算出的结果作为个体的适应度, 在算法的后期, 由于个体的适应度都处于一个较高的平均水平, 由轮盘赌计算出的概率相差不大, 选择算子的作用效果将会减弱。

为了改善这一现象，对种群中个体适应度做合理的尺度变换，以提高选择算子的作用效果。个体  $C_i$  变换后的适应度定义为  $f'(C_i)$

$$f'(C_i) = \begin{cases} f(C_i) - f_{\min} & f(C_i) > f_{\min} \\ 0 & f(C_i) \leq f_{\min} \end{cases} \quad (4-6)$$

其中，定义  $f_{\min} = \mu - \sigma$ ， $\mu$  为种群适应度的均值， $\sigma$  为种群适应度的标准差。

### 4.3 蚁群基因的二进制编码与解码

#### 4.3.1 格雷编码的引入

遗传算法的局部搜索能力不强，导致这个问题的主要原因是新一代的种群是有上一代种群经过交叉、变异后得到的。即便上一代种群个体已经接近了最优解，经过变异算子作用后，参数值可能会产生较大的变化，导致种群无法继续向最优解方向收敛。

格雷编码是广泛应用于通信、模拟-数字信号转换等领域的一种编码方式。格雷码具有这样一个特性：任意两个相邻整数对应的格雷码之间汉明距离为 1。正是由于这个特性的存在，使得格雷码十分适用于遗传算法。编码过后的基因经过突变后，其对应的原始数据只会产生细微的变化。这样可以大大提高遗传算法的局部搜索能力。

对于给定的自然二进制编码  $b_1 b_2 \cdots b_n$ ，其与对应的格雷码  $g_1 g_2 \cdots g_n$  之间由以下公式进行转换。

自然二进制码至格雷码：

$$\begin{cases} g_1 = b_1 \\ g_i = b_{i-1} \oplus b_i & i > 1 \end{cases} \quad (4-7)$$

格雷码至自然二进制码：

$$\begin{cases} b_1 = g_1 \\ b_i = b_{i-1} \oplus g_i & i > 1 \end{cases} \quad (4-8)$$

#### 4.3.2 编码与解码

本文对蚁群算法的参数采用以下二进制编码、解码方式：

1. 编码

设  $x$  为待编码实数，区间  $[a,b]$  为  $x$  的取值范围， $n$  为指定的编码长度。则将  $x$  编码为

$$x_g = \text{gray}\left(\frac{(x-a)2^n}{b-a}\right) \quad (4-9)$$

其中，函数  $\text{gray}(x)$  为格雷编码函数。

## 2. 解码

设  $x_g$  为待解码数，区间  $[a,b]$  为  $x$  的取值范围， $n$  为指定的编码长度。则将  $x_g$  编码为

$$x = a + \frac{(b-a)\text{gray}^{-1}(x_g)}{2^n} \quad (4-10)$$

其中，函数  $\text{gray}^{-1}(x)$  为格雷解码函数。

## 4.4 基于遗传算法的蚁群算法参数优化

### 4.4.1 初始数据的选取

蚁群求解的 TSP 问题设定为 EIL51 问题，该 TSP 问题的数据如下：

表 4-1 EIL51 问题数据

序号	x	y	序号	x	y	序号	x	y
1	37	52	18	17	33	35	62	63
2	49	49	19	13	13	36	63	69
3	52	64	20	57	58	37	32	22
4	20	26	21	62	42	38	45	35
5	40	30	22	42	57	39	59	15
6	21	47	23	16	57	40	5	6
7	17	63	24	8	52	41	10	17
8	31	62	25	7	38	42	21	10
9	52	33	26	27	68	43	5	64
10	51	21	27	30	48	44	30	15
11	42	41	28	43	67	45	39	10
12	31	32	29	58	48	46	32	39
13	5	25	30	58	27	47	25	32
14	12	42	31	37	69	48	25	55
15	36	16	32	38	46	49	48	28



16	52	41	33	46	10	50	56	37
17	27	23	34	61	33	51	30	40

已知该问题最优解路径为

起点→

1→22→8→26→31→28→3→36→35→20→  
 2→29→21→16→50→34→30→9→49→10→  
 39→33→45→15→44→42→40→19→41→13→  
 25→14→24→43→7→23→48→6→27→51→  
 46→12→47→18→4→17→37→5→38→11→  
 32→1

→终点

该路径长度为 426。

令  $m \in \{20, 80\}$ 、 $Q \in \{100, 800\}$ 、 $\alpha \in \{1, 5\}$ 、 $\beta \in \{1, 5\}$ 、 $\rho \in \{0.1, 0.5\}$ ，由这些初始参数进行组合，产生下表中 32 个蚁群个体作为遗传算法的初始种群。

表 4-2 初始种群参数表

序号	$m$	$Q$	$\alpha$	$\beta$	$\rho$	序号	$m$	$Q$	$\alpha$	$\beta$	$\rho$
1	20	100	1	1	0.1	17	80	100	1	1	0.1
2	20	100	1	1	0.5	18	80	100	1	1	0.5
3	20	100	1	5	0.1	19	80	100	1	5	0.1
4	20	100	1	5	0.5	20	80	100	1	5	0.5
5	20	100	5	1	0.1	21	80	100	5	1	0.1
6	20	100	5	1	0.5	22	80	100	5	1	0.5
7	20	100	5	5	0.1	23	80	100	5	5	0.1
8	20	100	5	5	0.5	24	80	100	5	5	0.5
9	20	800	1	1	0.1	25	80	800	1	1	0.1
10	20	800	1	1	0.5	26	80	800	1	1	0.5
11	20	800	1	5	0.1	27	80	800	1	5	0.1
12	20	800	1	5	0.5	28	80	800	1	5	0.5
13	20	800	5	1	0.1	29	80	800	5	1	0.1
14	20	800	5	1	0.5	30	80	800	5	1	0.5
15	20	800	5	5	0.1	31	80	800	5	5	0.1
16	20	800	5	5	0.5	32	80	800	5	5	0.5

蚁群适应度函数的计算公式 4-5 中，通过大量实践，发现时间性能指标  $E_T$  对于算法结果有不良影响。由于该指标趋于将蚁群算法的收敛速度达到最快，应用加入该指标的适应度计算公式后，种群将收敛至近贪婪算法。因此，本文

计算蚁群适应度时将该指标权重设置为 0。最佳性能指标和鲁棒性能指标给以相同的权重。即  $(\alpha_o, \alpha_T, \alpha_R) = (0.5, 0, 0.5)$

#### 4.4.2 遗传算法的计算结果

根据前文所述计算方法，本文利用 Java 语言编写了蚁群算法与遗传算法的相应程序（程序部分核心代码见附录）。将上述给出的初始数据代入程序进行计算，得到的结果如下：

表 4-3 遗传算法各代种群结果

序号	$m$		$Q$		$\alpha$		$\beta$		$\rho$	
	$\mu$	$\sigma$	$\mu$	$\sigma$	$\mu$	$\sigma$	$\mu$	$\sigma$	$\mu$	$\sigma$
0	50	30	450	350	3	2	3	2	0.3	0.2
1	53.1	26.6	558	332	3.34	2.58	5.29	2.02	0.33	0.23
2	64.1	20.6	571	310	3.94	2.55	5.89	1.93	0.37	0.28
3	65	11.9	562	311	4.54	2.63	6.62	1.96	0.42	0.3
4	66.4	12.3	495	340	3.65	2.57	6.11	1.65	0.37	0.27
5	58.6	15.9	495	320	2.96	2.14	6.25	1.43	0.36	0.24
6	59.4	14.2	528	344	2.19	1.84	6.76	1.64	0.51	0.28
7	63.3	12.1	559	333	2.19	2.08	6.15	1.12	0.65	0.27
8	63.6	12.6	564	322	1.71	1.69	6.98	1.53	0.65	0.27
9	58.2	18.6	599	358	1.28	0.54	6.81	1.54	0.62	0.27
10	57.3	18.4	574	367	1.3	0.59	6.97	1.65	0.54	0.18
11	58.8	18.2	466	338	1.46	0.78	6.75	1.27	0.55	0.14
12	59	16.7	406	295	1.57	0.9	6.95	1.37	0.52	0.09
13	63.8	16.7	290	261	1.52	1.07	6.93	1.34	0.53	0.12
14	68	15.9	274	230	1.36	0.91	6.67	1.29	0.51	0.13
15	68.4	13.2	318	281	1.45	0.85	6.92	1.34	0.5	0.17
16	63.7	14	323	227	1.3	0.76	7	1.46	0.59	0.1
17	66.2	21	289	240	1.11	0.66	6.98	1.24	0.56	0.16
18	70.2	22.6	280	218	1.32	0.61	7.09	1.03	0.58	0.12
19	68.8	21.7	334	243	1.36	0.75	7.35	1.15	0.6	0.08
20	66.3	22.3	370	219	1.36	0.94	7.45	1.2	0.6	0.1
21	72.6	21.1	413	271	1.04	0.27	7.69	1.19	0.63	0.12
22	77.3	19.9	316	240	1.39	1.03	7.38	1.29	0.62	0.11
23	80.2	20.3	345	277	1.17	0.27	7.13	1.32	0.6	0.06
24	77	17.3	360	326	1.04	0.3	6.65	1.11	0.65	0.09
25	72.9	18.7	423	339	1.14	0.64	7.13	1.09	0.69	0.14
26	71.8	12.2	468	328	1.42	0.98	7.57	1.05	0.72	0.16
27	67.1	12.3	544	362	1.26	0.75	7.41	1.05	0.77	0.16
28	65.8	16.8	631	310	1.43	0.99	7.43	1.12	0.74	0.17

29	71	14.5	585	327	1.37	0.74	7.4	1.25	0.69	0.14
30	70.6	12.6	626	300	1.09	0.26	7.43	1.43	0.68	0.13

上表中给出了遗传算法计算得到的前 30 代种群各参数的统计数据。

其中,  $m$ 、 $Q$ 、 $\alpha$ 、 $\beta$ 、 $\rho$  分别为蚁群算法中蚂蚁数量、信息素强度、信息启发因子、期望启发因子与信息素挥发系数。各参数下  $\mu$  列与  $\sigma$  列分别表示各代种群中对应参数的均值与标准差。

## 5 参数优化的初步结论

根据上面给出的数据, 可以分别绘制出蚁群算法的参数  $m$ 、 $Q$ 、 $\alpha$ 、 $\beta$ 、 $\rho$  随代数增长的曲线图如下:

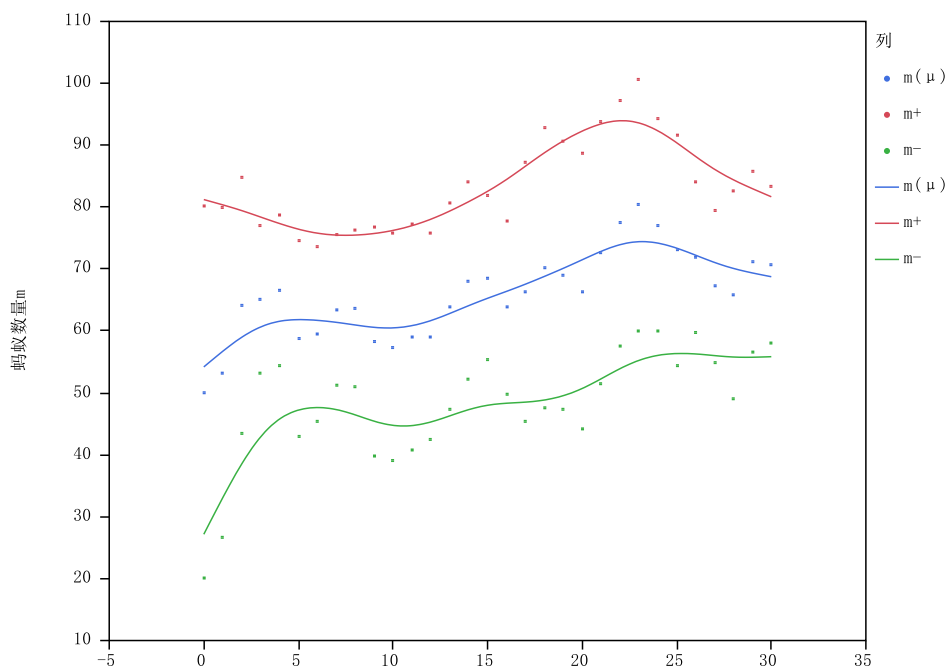


图 5-1 蚂蚁数量-遗传代数曲线图

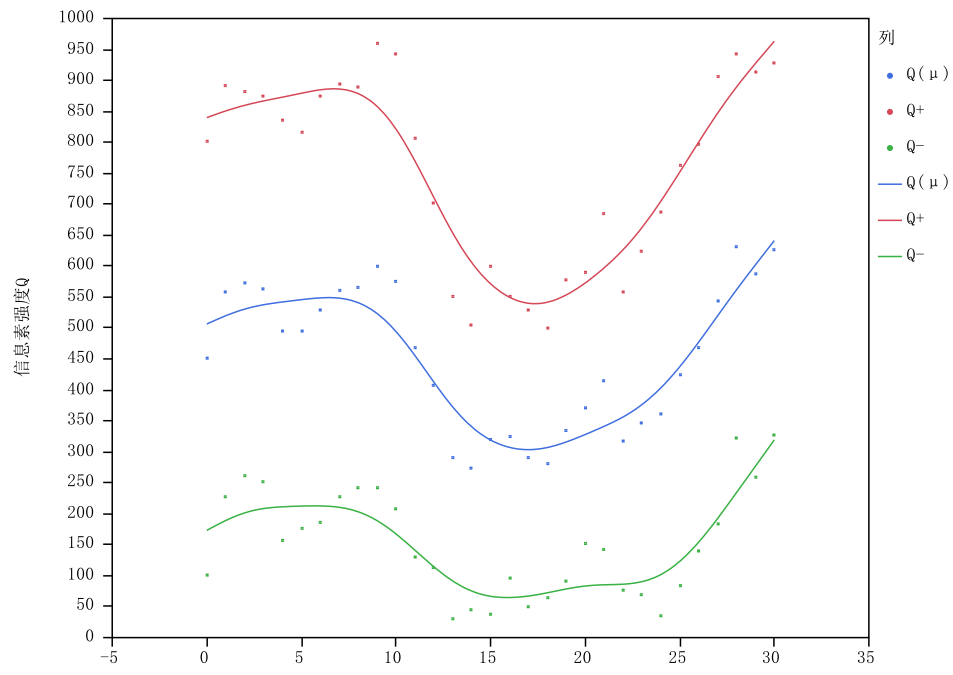


图 5-2 信息素强度-遗传代数曲线图

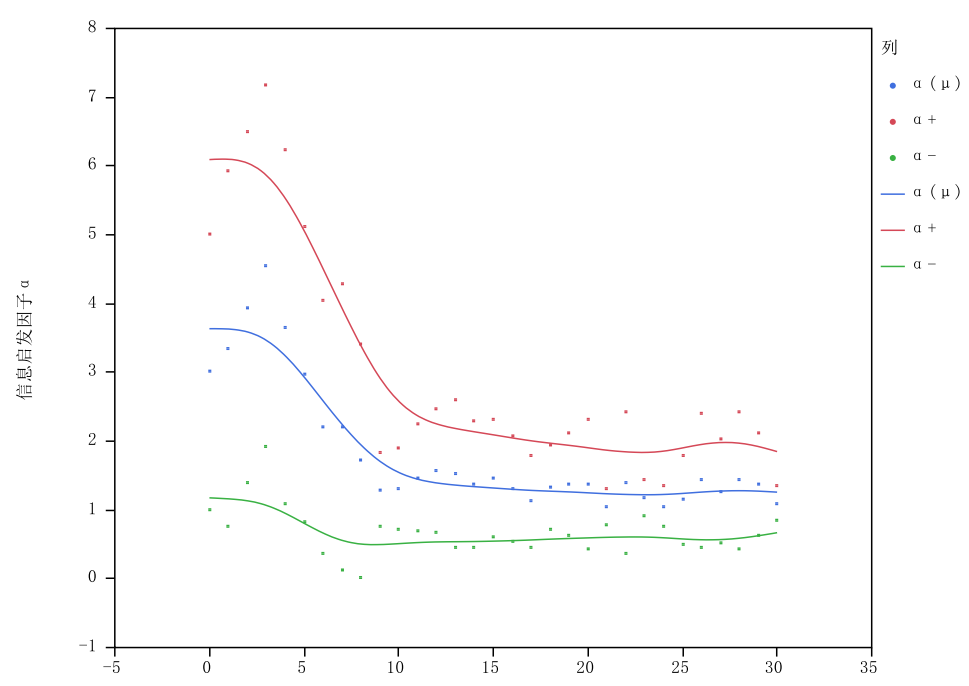


图 5-3 信息启发因子-遗传代数曲线图

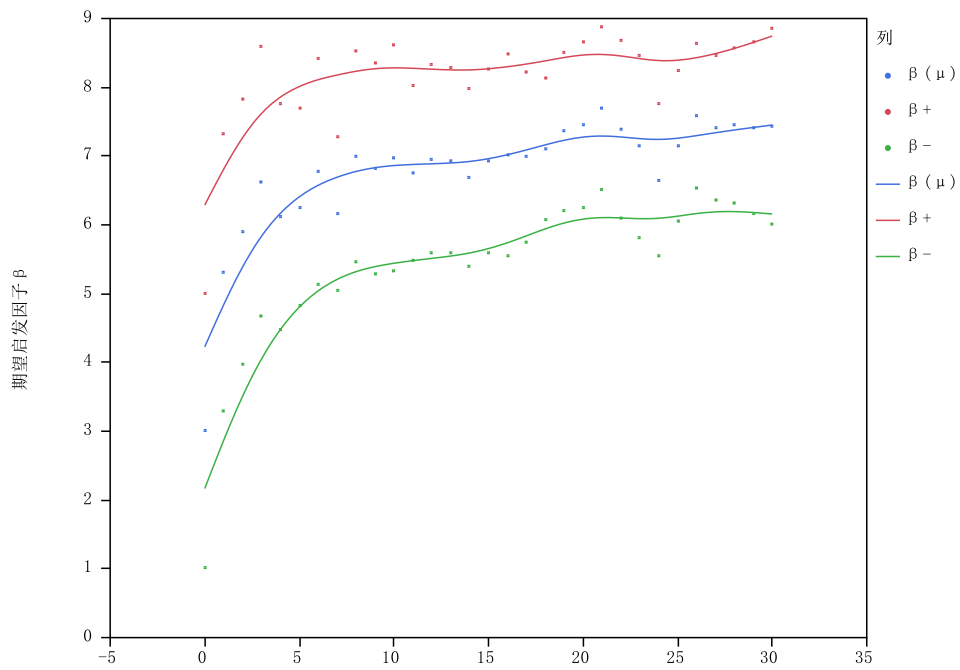


图 5-4 期望启发因子-遗传代数曲线图

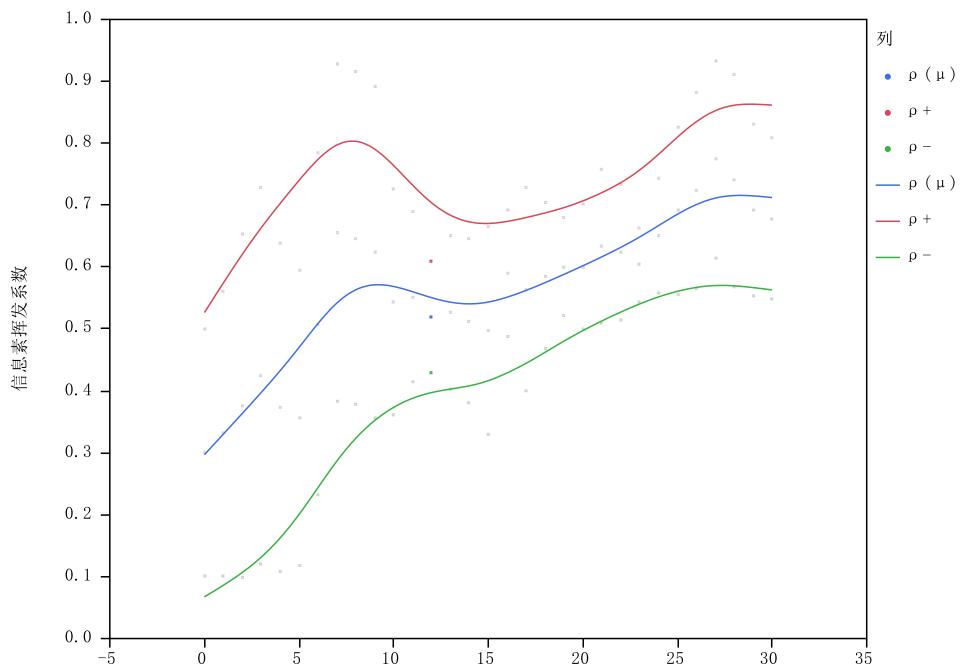


图 5-5 信息挥发系数-遗传代数曲线图

图例 5-1 至 5-5 中，蓝线（中间线）为因变量参数的均值  $\mu$  的拟合曲线，红线（上方线）为均值加一个标准差  $\mu+\sigma$  的拟合曲线，绿线（下方线）为均值减一个标准差  $\mu-\sigma$  的拟合曲线。

通过观察上面各参数经过遗传后变化的曲线图，容易发现，蚂蚁数量  $m$  信息启发因子  $\alpha$ 、期望启发因子  $\beta$ 、信息素挥发系数  $\rho$  均有较明显的收敛趋势，而信息素浓度  $Q$  并没有显著的收敛于某个值附近。

通过上述计算，我们可以初步给出蚁群算法针对 EIL51 问题的最优参数估计区间为： $m \in [50, 80]$ 、 $\alpha \in [1, 2]$ 、 $\beta \in [6, 8]$ 、 $\rho \in [0.5, 0.8]$ ，而由于信息素强度并无明显的收敛趋势，按照人们大量实验得到的经验，这里给出其较优的取值区间为  $Q \in [300, 800]$ 。

## 6 存在的不足

本文通过遗传算法对蚁群算法的初始参数进行优化，并且获得了多个参数的较优取值区间。但是，由于尚有许多因素未考虑周全，因此本文所做的工作仍然存在许多不足与改进的空间。现将部分不足之处列举如下：

1. 定义蚁群算法适应度函数时，直接忽略了算法的时间性能指标。虽然时间性能指标权重过高会导致蚁群算法向近贪心算法收敛，但该指标也不应直接忽视。而应通过多次试验，给出一个较小的合理权重。

2. 在蚁群基因的二进制编码解码过程中，虽然使用了格雷码，但仍然无法完全回避基因突变导致的原参数急剧变化的情况。这也导致算法难以收敛到局部最优解。该问题可以通过更改基因突变策略或使用浮点型编码遗传算法来加以改进。

3. 本文中对于蚁群算法的性能指标均是参照求解同一个 TSP 问题(EIL51)来评价的。然而蚁群算法的众多参数必然与具体的 TSP 问题相关。这也导致所求得的结果并非普适于所有类型的 TSP 问题。对于这一问题，可以考虑将各参数设为以具体 TSP 问题为变量的函数，将蚁群的适应度作为泛函进行优化分析。然而该解决方法将大大增加计算的复杂度与计算时间。本文仅提出该思路，暂不做讨论。

## 7 致谢

历时近两月，本文方才定稿完成。在本文的撰写过程中遇到了许多困难与障碍，都在老师的指导和同学的帮助下度过了。

首先感谢我的论文指导老师——杜大刚老师。他在我撰文过程中给予了无私的指导，让我在整篇论文的思路上受到很大的启发，并且在整体结构上提供了许多宝贵的建议。

然后感谢我的众多同学与朋友，他们在我翻译外文文献的时候提供了许多参考意见，并且在论文的撰写和排版的过程中提供热情的帮助与建议。

最后还要感谢这篇论文所涉及到的各位学者。本文引用了数位学者的研究文献，如果没有各位学者的研究成果的帮助和启发，本篇论文的写作将很难完成。

由于本人学术水平有限，所写论文难免有不足之处，恳请各位老师和学友批评和指正！

## 8 参考文献

- [1]Colorni A, Dorigo M, Maniezzo V, etal. Distributed optimization by ant colonies. Proceedings of the 1<sup>st</sup> European Conference on Artificial Life, 1991, 134~142
- [2]Dorigo M, Maniezzo V, Colorni A. Ant system: optimization by a colony of cooperating angent. IEEE Transaction on Systems, Man, and Cybernetics-Part B, 1996, 26(1): 29~41
- [3]段海滨.蚁群算法原理及其应用[M].北京：科学出版社，2005.12
- [4]周明，孙树栋.遗传算法原理及其应用[M].北京：国防工业出版社，1999.6
- [5]张彤，张华，王子才.浮点数编码的遗传算法及其应用[J].哈尔滨工业大学学报，2000，32(4): 59~61
- [6] 杨晓华，陆桂华，杨志峰，郦建强. 格雷码加速遗传算法及其理论研究[J].系统工程理论与实践，2003，3（3）:100~106

## 附录 A 部分核心代码

### 1 蚁群算法核心代码

```

/**
 * 求解给定的 TSP 问题
 *
 * @param tsp 给定的 tsp 问题
 * @return 求得的解
 */
public TSPSolution solveTSP(final TSP tsp) {
    TSPSolution solution = new TSPSolution(tsp);
    // 初始化信息素矩阵
    double[][] pheromoneMatrix = new double[tsp.n][tsp.n];
    for (int i = 0; i < tsp.n; i++) {
        for (int j = 0; j < tsp.n; j++) {
            pheromoneMatrix[i][j] = q / tsp.averageDistance * tsp.n;
        }
    }
    // 开始迭代求解
    for (int loopCount = 0; loopCount < MAX_LOOP_COUNT; loopCount++) {
        // 信息素增量矩阵
        double[][] pheromoneDeltaMatrix = new double[tsp.n][tsp.n];
        // 记录蚂蚁路径
        int[][] paths = new int[m][tsp.n];
        // 记录蚂蚁禁忌表
        boolean[][] tabus = new boolean[m][tsp.n];
        // 初始化路径记录与禁忌表
        for (int i = 0; i < m; i++) {
            for (int j = 0; j < tsp.n; j++) {
                paths[i][j] = -1;
                tabus[i][j] = false;
            }
        }
    }
}

```



```
// 记录所有蚂蚁的最短行程

double currentMinDistance = Double.MAX_VALUE;

int[] currentMinPath = new int[tsp.n];

// 对所有蚂蚁进行遍历操作

for (int i = 0; i < m; i++) {

    // 随机初始化蚂蚁位置

    int position = (int) (Math.random() * tsp.n);

    // 更新路径

    paths[i][0] = position;

    // 更新禁忌表

    tabus[i][position] = true;

    // 遍历城市

    for (int j = 1; j < tsp.n; j++) {

        // 当前所在位置

        int currentPosition = paths[i][j - 1];

        // 计算权重

        double[] weightArray = new double[tsp.n];

        for (int k = 0; k < weightArray.length; k++) {

            if (!tabus[i][k]) {

                weightArray[k] = Math.pow(pheromoneMatrix[currentPosition][k], alpha) /

                    Math.pow(tsp.distanceMatrix[currentPosition][k], beta);

            }

            else {

                weightArray[k] = 0;

            }

        }

        // 选取下一个城市

        int nextPosition = Utils.roulette(weightArray, tabus[i]);

        // 更新路径

        paths[i][j] = nextPosition;

        // 更新禁忌表

        tabus[i][nextPosition] = true;

    }

    // 计算总路程
```

```

double distance = tsp.calcDistance(paths[i]);

// 释放信息素

double pheromoneDelta = q / distance;

for (int j = 0; j < tsp.n - 1; j++) {

    pheromoneDeltaMatrix[paths[i][j]][paths[i][j + 1]] += pheromoneDelta;

}

pheromoneDeltaMatrix[paths[i][tsp.n - 1]][paths[i][0]] += pheromoneDelta;

// 若该蚂蚁找到较短的路径，则更新路程信息

if (distance < currentMinDistance) {

    currentMinDistance = distance;

    currentMinPath = paths[i];

}

}

// 更新信息素

for (int i = 0; i < tsp.n; i++) {

    for (int j = 0; j < tsp.n; j++) {

        // 信息素挥发

        pheromoneMatrix[i][j] *= 1 - lambda;

        // 信息素增加

        pheromoneMatrix[i][j] += pheromoneDeltaMatrix[i][j];

    }

}

// 记录本次迭代路程信息

solution.addPath(currentMinDistance, currentMinPath);

}

return solution;

}

```

## 2 遗传算法核心代码

```
/**
 * 进化
 */
public void evolution() {
    /**
     * 选择
     */
    List<T> selectedPopulation = select(currentPopulation);

    /**
     * 交叉
     */
    List<T> crossoverPopulation = crossover(selectedPopulation);

    /**
     * 变异，记录当前种群
     */
    currentPopulation = mutate(crossoverPopulation);

    /**
     * 记录种群历史
     */
    populationHistory.add(currentPopulation);
}

/**
 * 选择
 */
@SuppressWarnings("unchecked")
private List<T> select(List<T> population) {
    List<T> resultPopulation = new ArrayList<>();

    // 计算适应度
```

```

double[] fitnessArray = new double[populationSize];

for (int i = 0; i < populationSize; i++) {
    fitnessArray[i] = population.get(i).calcFitness();
}

// 计算适应度均值
double sum = 0;

for (double fitness : fitnessArray) {
    sum += fitness;
}

double avg = sum / populationSize;

// 计算适应度标准差
double sqSum = 0;

for (double fitness : fitnessArray) {
    sqSum += (fitness - avg) * (fitness - avg);
}

double sd = Math.sqrt(sqSum / populationSize);

// 适应度尺度变换
double fMin = avg - sd;

for (int j = 0; j < populationSize; j++) {
    fitnessArray[j] = fitnessArray[j] > fMin ? fitnessArray[j] - fMin : 0;
}

// 选择个体
for (int i = 0; i < populationSize; i++) {
    int index = Utils.roulette(fitnessArray);

    Individual individual = population.get(index);

    resultPopulation.add((T) individual.createIndividual(individual.getGenome()));
}

return resultPopulation;
}

/**
 * 交叉
 */

```

```
@SuppressWarnings("unchecked")
private List<T> crossover(List<T> population) {
    List<T> resultPopulation = new ArrayList<>();

    // 随机打乱
    Collections.shuffle(population);

    // 两两配对
    for (int i = 0; i < populationSize / 2; i++) {
        Individual individual1 = population.get(i);
        Individual individual2 = population.get(populationSize - 1 - i);

        // 获取两者基因组
        List<boolean[]> genome1 = individual1.getGenome();
        List<boolean[]> genome2 = individual2.getGenome();

        List<boolean[]> crossGenome1 = new ArrayList<>();
        List<boolean[]> crossGenome2 = new ArrayList<>();
        assert genome1.size() == genome2.size();

        // 基因交叉
        for (int j = 0; j < genome1.size(); j++) {
            boolean[] gene1 = genome1.get(j);
            boolean[] gene2 = genome2.get(j);

            // 随机选取交叉点
            assert gene1.length == gene2.length;
            int geneLength = gene1.length;
            int index = (int) (Math.random() * geneLength);

            // 基因交叉互换
            boolean[] crossGene1 = new boolean[geneLength];
            boolean[] crossGene2 = new boolean[geneLength];
            for (int k = 0; k < geneLength; k++) {
                if (k < index) {
                    crossGene1[k] = gene1[k];
                    crossGene2[k] = gene2[k];
                }
                else {

```

```

        crossGene1[k] = gene2[k];
        crossGene2[k] = gene1[k];
    }
}

crossGenome1.add(crossGene1);
crossGenome2.add(crossGene2);
}

resultPopulation.add((T) individual1.createIndividual(crossGenome1));
resultPopulation.add((T) individual2.createIndividual(crossGenome2));
}

return resultPopulation;
}

/**
 * 变异
 */
@SuppressWarnings("unchecked")
private List<T> mutate(List<T> currentPopulation) {
    return currentPopulation.stream().map(
        individual -> (T) individual.createIndividual(individual.getGenome().stream().map(gene -> {
            boolean[] mutateGene = new boolean[gene.length];
            if (gene.length > 0) {
                mutateGene[0] = gene[0];
                for (int i = 1; i < gene.length; i++) {
                    mutateGene[i] = Math.random() < P_MUTATE ? (!gene[i]) : gene[i];
                }
            }
            return mutateGene;
        })).collect(Collectors.toList())
    ).collect(Collectors.toList());
}

```

## 附录 B 外文参考文献

### 1 部分译文

#### 基于蚁群的分布式优化

##### 摘要

蚁群展现出一种非常有趣的习性：尽管单独一只蚂蚁只具有简单的能力，但整个蚁群的行为却高度结构化。这是协同交互的结果。然而，由于蚂蚁之间通信的能力非常有限，交互作用必然基于一种非常简单的信息流。在本文中，我们通过研究蚂蚁的行为中蕴含的机理，将其应用于对问题的解决与优化。我们提出一种分布式问题解决环境，并且打算将其应用于寻找旅行商问题的解。

##### 1. 引言

在本文中，我们提出一种新的途径对分布式问题进行求解和优化，这种途径是基于在许多没意识到合作行为的单个媒介中底层交互的结果。通过学习蚁群，我们的工作受到启发：在这些系统中每一只蚂蚁执行非常简单的动作且并不清楚地知道其它蚂蚁在做什么。然而每个人都可以注意到这样一个高度结构化的行为结果。

在第二节中，我们说明了我们的构想建立的背景。我们决定开发一款软件环境来测试我们的想法，基于一个非常困难且著名的问题：旅行商——TSP 问题。我们把在第三节中描述的系统称为蚂蚁系统并且在本文中我们针对 TSP 问题提出了三个可能的实例：在第四节中描述的 ANT-quantity 和 ANT-density 系统，以及在第五节中介绍的 ANT-cycle 系统。第六节中列举了一些实验以及模拟结果与讨论。在第七节中，我们简述了一些结论和预测了在不久将来沿着我们研究工作继续进行的方向。

##### 2. 动机

与它们复杂的集体行为相比，动物界显示了几例拥有贫乏个体发展潜力的社会系统。这是从细菌[11]到蚂蚁[8]、毛虫[5]、软体动物和幼虫的不同进化阶段观察得到的。此外，更高层次的物种已保存下来的这些行为也是由相同的因果过程产生的，如鱼类、鸟类和哺乳动物。这些物种使用不同的交流媒介，

虽然是在极少普遍存在的情况下采用的但本质上导致了了相同的行为模式（参见 circular mills 例子[3]）。

这表明，潜在的机制已被证明进化地极具效果，因此值得被研究分析，尤其是当试图实现通过大规模并行系统由简单元素来分配活动去执行复杂任务的相似目标。

一个更好研究有关蚁群[2]自然情况下的分布式活动是：到目前为止，我们概述的模型的主要特征解释了蚁群行为。这些特征是分布式算法定义的基础，已经被我们应用到解决“困难”（NP 难度）的计算问题上。

令人感兴趣的问题是这些相当于失明的动物如何设法建立了最短路径来回于它们的聚居地和料源。

对蚂蚁来说，媒介是用来传达有关路径的单个信息和用来组成决定去哪的信息素。一个移动的蚂蚁在地面上释放一些信息素（在不同数量），因此通过一系列这种物质标记它遵循的路径。本质上来说，一个单个蚂蚁移动是随机的，遇到以前铺设的道路，蚂蚁能够辨别出这条道路并且极大可能决定遵循它，从而通过自己的信息素加强这条道路的标记。形成这种集体行为是一种自动催化行为或者是 allelomimesis 行为——遵循一条道路的蚂蚁越多，这条道路就会吸引越多的蚂蚁去遵循。因此，这个过程的特征是一个正反馈循环，其概率相当于一个蚂蚁选择了一个路径导致在相同基础上选择相同路径的蚂蚁增加的数量。

图 1 中我们给出了一个例子关于 allelomimesis 如何绕过障碍识别最短路径。

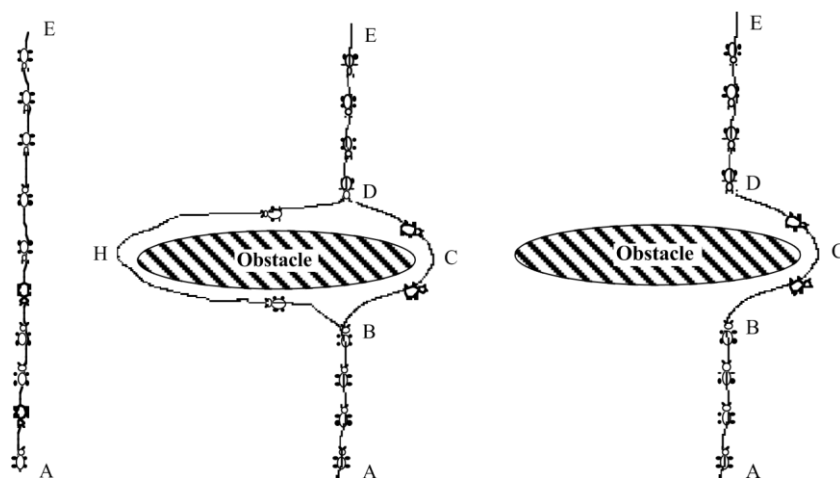




图 1——

- a) 一些蚂蚁正在走点 A 和点 E 之间的一条路径
- b) 一个障碍突然出现，蚂蚁必须绕过它
- c) 在相同的基础上，蚂蚁选择最短路径

实验设置如下：蚂蚁沿着一个路径在走（假如从食物源 A 到蚂蚁窝 E 之间有一条路径——图 1a）。突然出现一个障碍并且把之前的路径切断。所以从 E 到 A 上蚂蚁走到位置 B（或者那些在相反位置上的蚂蚁走到位置 D）必须决定是向右或向左走（图 1b）。这个选择是深受先前蚂蚁留下的信息素的影响。在右侧路径上的更高等级的信息素给了一个蚂蚁较强的刺激，因此向右转的可能性更高。第一只蚂蚁到达点 B（或 D）选择向右或向左转是相同的概率（因为在两条可选择的路径上都没有以前的信息素）。路径 BCD 比 BGD 短，所以选择 BCD 的第一只蚂蚁比选择 BGD 的第一只蚂蚁要更早到达 D。结果是，从 ED 过来的新蚂蚁将发现在路径 DCB 上有更强的踪迹，这是因为所有蚂蚁的一半随机决定通过 ABCD 越过障碍而且已经到达的那些蚂蚁选择 BCD 通过的：因此比起路径 BGD，它们更喜欢（从概率上）路径 DCB。因此，在单位时间内，遵循路径 BCD 的蚂蚁数量比遵循路径 BGD 的蚂蚁数量要更高。这导致信息素数量在较短路径上要比在较长路径上增长的快，因此任何一个蚂蚁选择要遵循的路径时极大可能偏向较短路径。最终结果是，所有蚂蚁很大可能选择较短的路径（图 1c）。但是，是否遵循一个路径的决定是不确定的，因此，允许可选择路线的一个连续探索。

计算模型已被发展用来模拟寻找食物的过程。结果是令人满意，这表明一个简单的概率模型是足以解释复杂和辨别集体模式的。这是一个重要结果，一个最低等级的个体复杂性能够解释一个复杂的集体行为。

在每一个个体的计算复杂度的增加下，一旦为了预期的行为而建立的最低限度需求，就可以帮助摆脱局部最优和面对环境的变化。受反馈循环控制的路径铺设只是使蚂蚁轻松地去追求第一只蚂蚁主观遵循的路径，但这个路径很有可能不是最理想的。如果我们从建立自然现实模型的目的上转变成完成寻找食物的最有效途径的设计代理上，个体代理复杂度的增加能够指导在计算成本增量之前的搜索。在这种情况下，我们要面对在个体性能和因为增加种群数量而造成的计算开销之间进行权衡：我们感兴趣的是最简单模型能考虑到有效最短路径的识别和优化。

## 2 部分原文

### Distributed Optimization by Ant Colonies

Alberto Coloni, Marco Dorigo, Vittorio Maniezzo

Dipartimento di Elettronica, Politecnico di Milano

Piazza Leonardo da Vinci 32, 20133 Milano, Italy

e-mail: dorigo@ipmel1.elet.polimi.it maniezzo@ipmel1.elet.polimi.it

### Abstract

Ants colonies exhibit very interesting behaviours: even if a single ant only has simple capabilities, the behaviour of a whole ant colony is highly structured. This is the result of coordinated interactions. But, as communication possibilities among ants are very limited, interactions must be based on very simple flows of information. In this paper we explore the implications that the study of ants behaviour can have on problem solving and optimization. We introduce a distributed problem solving environment and propose its use to search for a solution to the travelling salesman problem.

### 1. Introduction

In this paper we propose a novel approach to distributed problem solving and optimization based on the result of low-level interactions among many cooperating simple agents that are not aware of their cooperative behaviour. Our work has been inspired by the study of ant colonies: in these systems each ant performs very simple actions and does not explicitly know what other ants are doing. Nevertheless everybody can observe the resulting highly structured behaviour.

In section 2 we explain the background on which our speculations have been built. We decided to develop a software environment to test our ideas on a very difficult and well known problem: the travelling salesman problem - TSP. We call our system, described in section 3, the **ant system** and we propose in this paper three possible instantiations to the TSP problem: the **Ant-quantity** and the **Ant-density** systems, described in section 4, and the **Antcycle** system, introduced in section 5. Section 6 presents some experiments, together with simulation results and discussion. In section 7 we sketch some conclusions and prefigure the directions along which our research work will proceed in the near future.

### 2. Motivations

The animal realm exhibits several cases of social systems having poor individual capabilities when compared to their complex collective behaviours. This is observed at different evolutionary stages, from bacteria [11], to ants [8], caterpillars [5] molluscs and larvae. Moreover, the same causal processes that originate these behaviours are largely conserved in higher level species, like fishes, birds and mammals. These species make use of different communication media, adopted in less ubiquitous situation but essentially leading to the same patterns of behaviours (see for example the circular mills [3]).

This suggests that the underlying mechanisms have proven evolutionarily extremely effective and are therefore worth of being analyzed when trying to achieve the similar goal of performing complex tasks by distributing activities over massively parallel systems composed of computationally simple elements.

One of the better studied natural cases of distributed activities regards ant colonies [2]: we outline here the main features of the models so far proposed to explain ant colonies behaviour. These features have been the basis for the definition of a distributed algorithm, that we have applied to the solution of "difficult" (NP-hard) computational problems.

The problem of interest is how almost blind animals manage to establish shortest route paths from their colony to feeding sources and back.

In the case of ants, the media used to communicate among individuals information regarding paths and used to decide where to go consists of *pheromone trails*. A moving ant lays some pheromone (in varying quantities) on the ground, thus marking the path it followed by a trail of this substance. While an isolated ant moves essentially at random, an ant encountering a previously laid trail can detect it and decide with high probability to follow it, thus reinforcing the trail with its own pheromone. The collective behaviour that emerges is a form of *autocatalytic* behaviour — or *allelomimesis* — where the more are the ants following a trail, the more that trail becomes attractive for being followed. The process is thus characterized by a positive feedback loop, where the probability with which an ant chooses a path increases with the number of ants that chose the same path in the preceding steps.

In Fig.1 we present an example of how allelomimesis can lead to the identification of the shortest path around an obstacle.

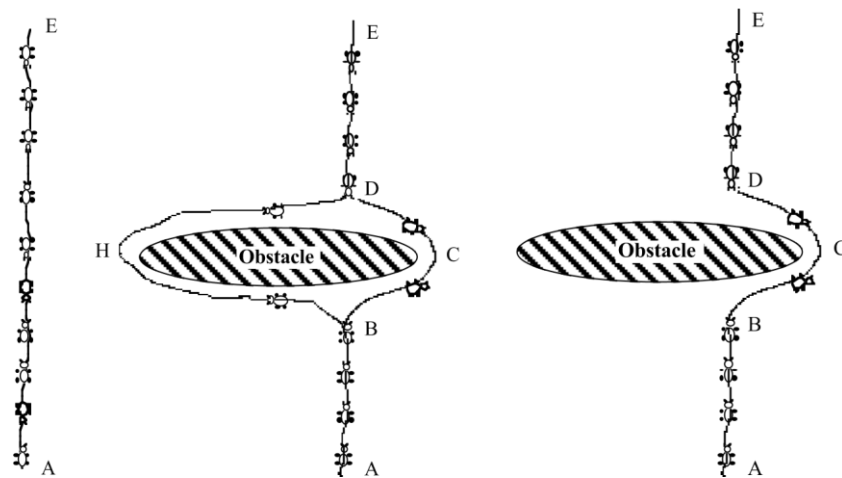


Fig.1 -

- a) Some ants are walking on a path between points A and E
- b) An obstacle suddenly appears and the ants must get around it
- c) At steady-state the ants choose the shorter path

The experimental setting is the following: there is a path along which ants are walking (for example it could be a path from a food source A to the nest E - Fig.1a). Suddenly an obstacle appears and the previous path is cut off. So at position B the ants walking from E to A (or at position D those walking in the opposite direction) have to decide whether to turn right or left (Fig.1b). The choice is influenced by the intensity of the pheromone trails left by preceding ants.

A higher level of pheromone on the right path gives an ant a stronger stimulus and thus an higher probability to turn right. The first ant reaching point B (or D) has the same probability to turn right or left (as there was no previous pheromone on the two alternative paths). Being path BCD shorter than BGD, the first ant following it will reach D before the first ant following path BGD. The result is that new ants coming from ED will find a stronger trail on path DCB, caused by the half of all the ants that by chance decided to approach the obstacle via ABCD and by the already arrived ones coming via BCD: they will therefore prefer (in probability) path DCB to path DGB. As a consequence, the number of ants following path BCD will be higher, in the unit of time, than the number of ants following BGD. This causes the quantity of pheromone on the shorter path to grow faster than on the longer one, and therefore the probability with which any single ant chooses the path to follow is quickly biased towards the shorter one. The final result is that very quickly all ants will choose the shorter path (Fig.1c). However, the decision of whether to follow a path or not is never deterministic, thus allowing a continuous exploration of alternative routes. Computational models have been developed, to simulate the food-searching process [3], [8]. The results are satisfactory, showing that a simple probabilistic model is enough to justify complex and differentiated collective patterns. This is an important result, where a minimal level of individual complexity can explain a complex collective behaviour.

An increase in the computational complexity of each individual, once established the lowest limit needed to account for the desired behaviours, can help in escaping from local optima and to face environmental changes. Trail laying regulated by feedback loop just eases ants to pursue the path followed by the first ant which reached its objective, but that path could easily be suboptimal. If we move from the goal of modeling natural reality to that of designing agents that perform food-seeking in the most efficient possible way, an increase in the individual agent's complexity could direct the search in front of an increment of computational cost. In this case we face the trade-off between individual performance and computational overhead caused by increasing population size: we are interested in the simplest models that take into account efficient shortest route identification and optimization.